

METABÓLITOS SECUNDÁRIOS DAS ESPONJAS *Aplysina fistularis* E *Dysidea* sp. E ATIVIDADE ANTITUBERCULOSE DA 11-CETOFISTULARINA-3

Renata C. Gandolfi, Marina B. Medina e Roberto G. S. Berlinck*

Instituto de Química de São Carlos, Universidade de São Paulo, CP 780, 13560-970 São Carlos - SP, Brasil

Simone P. Lira

Departamento de Ciências Exatas, Escola Superior de Agricultura "Luiz Queiroz", Universidade de São Paulo, CP 9, 13418-900 Piracicaba - SP, Brasil

Fabio Cícero de Sá Galetti e Célio L. Silva

Farmacore Biotecnologia Ltda, Ribeirão Preto - SP, / Faculdade de Medicina de Ribeirão Preto, Universidade de São Paulo, Av. Bandeirantes, 3900, 14049-900 Ribeirão Preto - SP, Brasil

Katycsya Veloso e Antonio G. Ferreira

Departamento de Química, Universidade Federal de São Carlos, CP 676, 13560-970 São Carlos - SP, Brasil

Eduardo Hajdu

Museu Nacional, Universidade Federal do Rio de Janeiro, Quinta da Boa Vista, s/n, 20940-040 Rio de Janeiro - RJ, Brasil

Solange Peixinho

Departamento de Biologia, Universidade Federal da Bahia, Campus Univ. Ondina, 40170-290 Salvador - BA, Brasil

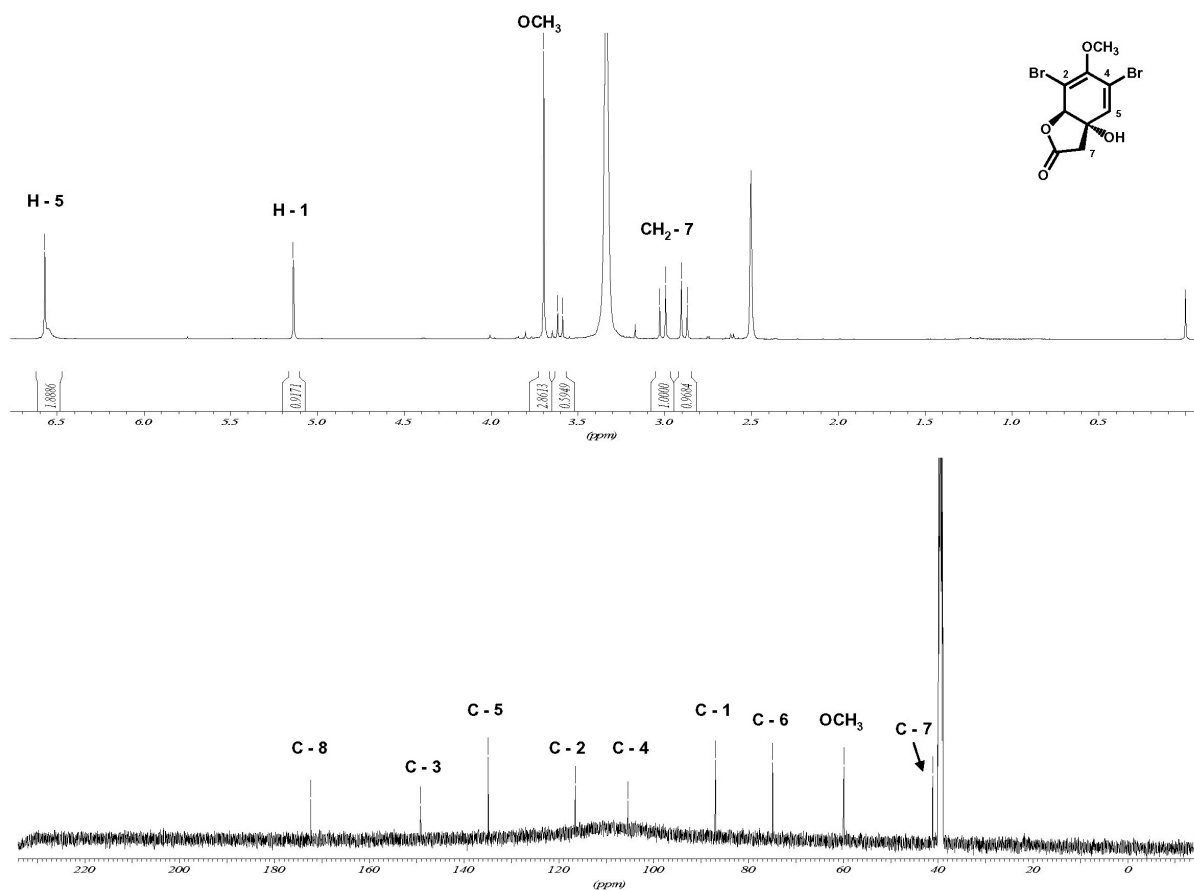


Figura 1S. Espectros de RMN - ¹H (DMSO-d₆, 400 MHz) e RMN - ¹³C (DMSO-d₆, 100 MHz) da aeroplisinina-2 (4)

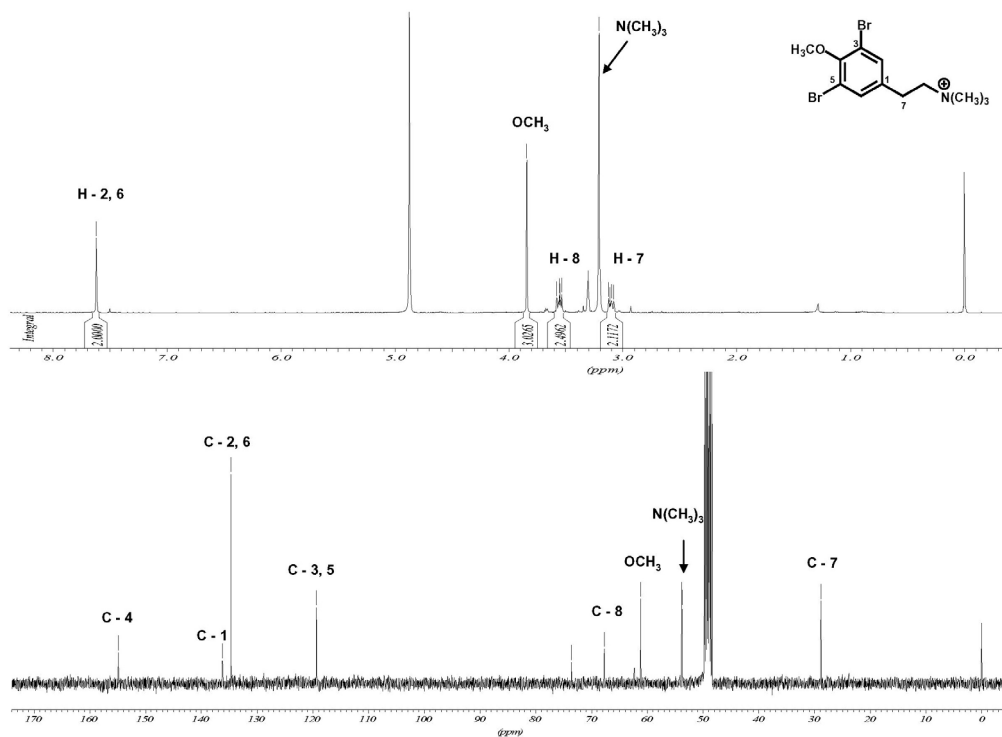


Figura 2S. Espectros de RMN - ^1H (CD_3OD , 400 MHz) e RMN - ^{13}C (CD_3OD , 100 MHz) do 2-(3,5-dibromo-4-metoxifenil)-N,N,N-trimiletanamônio (5)

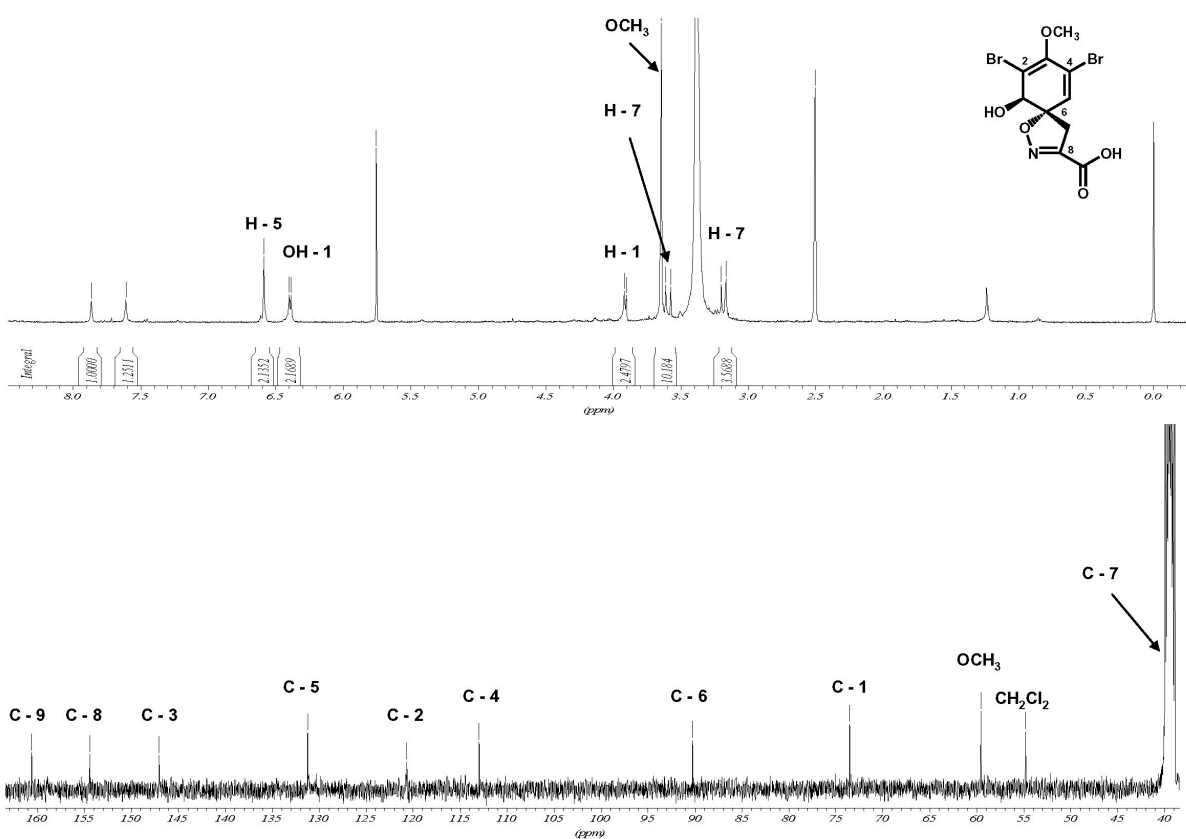


Figura 3S. Espectros de RMN - ^1H ($\text{DMSO}-d_6$, 400 MHz) e RMN - ^{13}C ($\text{DMSO}-d_6$, 100 MHz) do do ácido verongidóico (6)

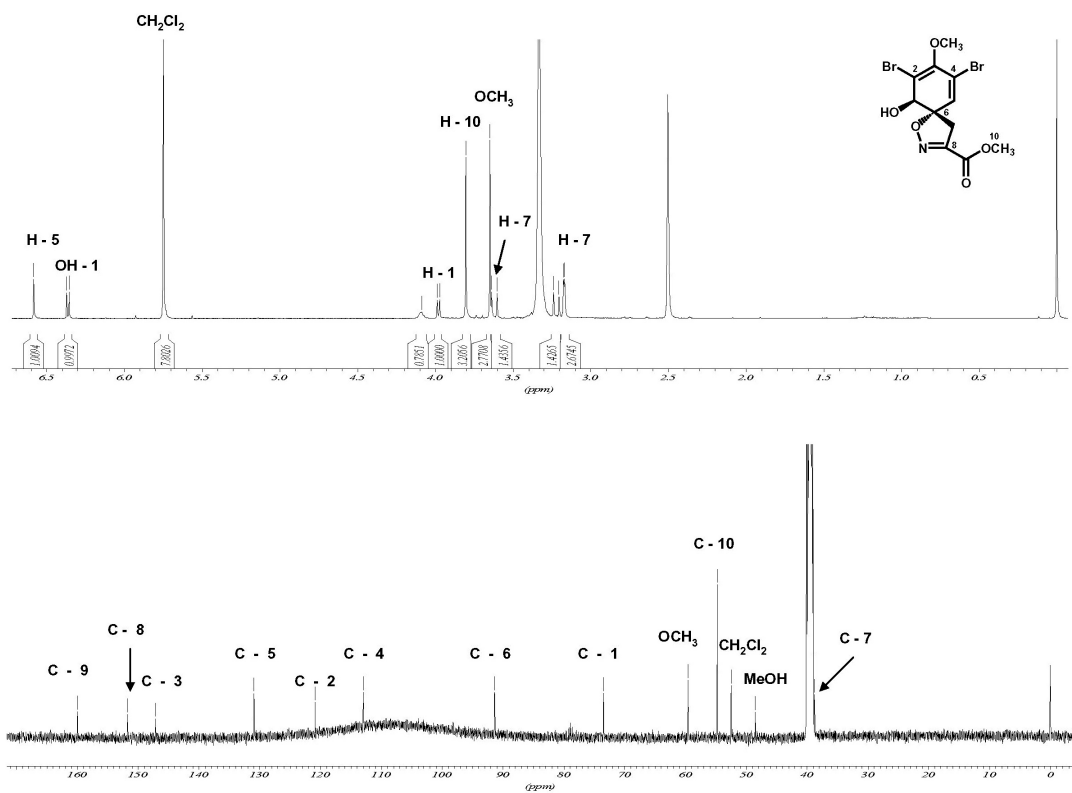


Figura 4S. Espectros de RMN - ^1H ($\text{DMSO}-d_6$, 400 MHz) e RMN - ^{13}C ($\text{DMSO}-d_6$, 100 MHz) do éster metílico do ácido verongidóico (7)

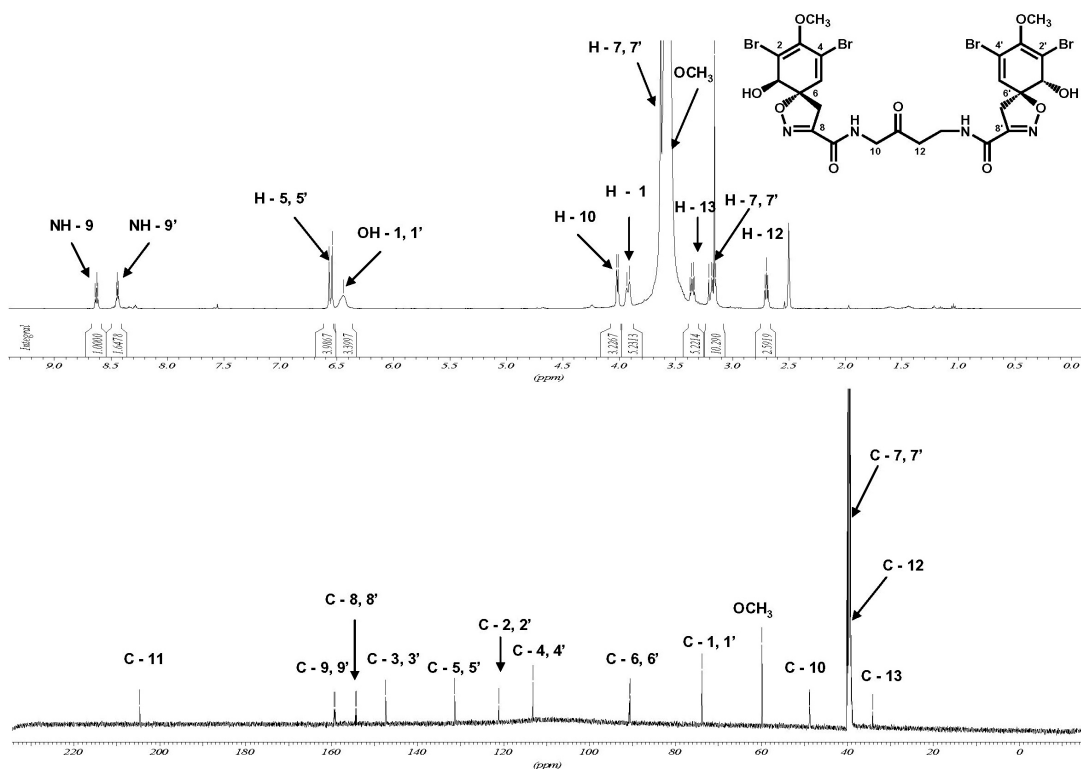


Figura 5S. Espectros de RMN - ^1H ($\text{DMSO}-d_6$, 400 MHz) e RMN - ^{13}C ($\text{DMSO}-d_6$, 100 MHz) da 11-oxoaerotionina (8)

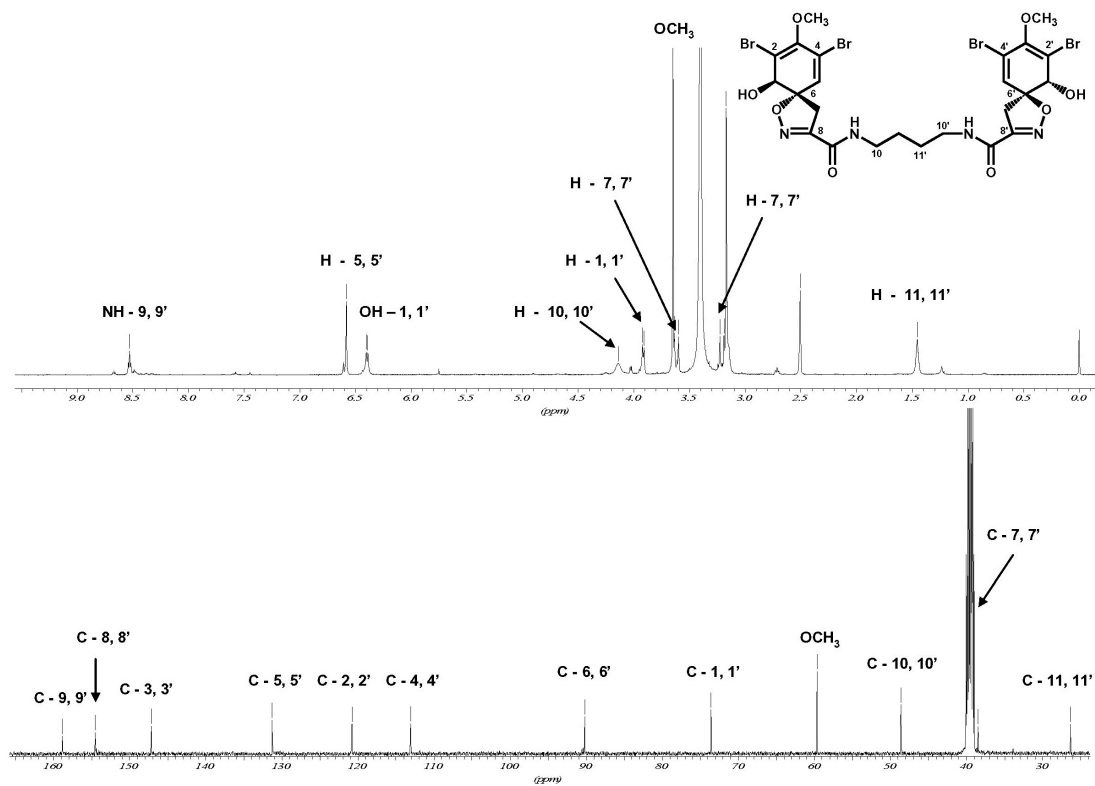


Figura 6S. Espectros de RMN - ^1H ($\text{DMSO}-d_6$, 400 MHz) e RMN - ^{13}C ($\text{DMSO}-d_6$, 100 MHz) da aerotionina (9)

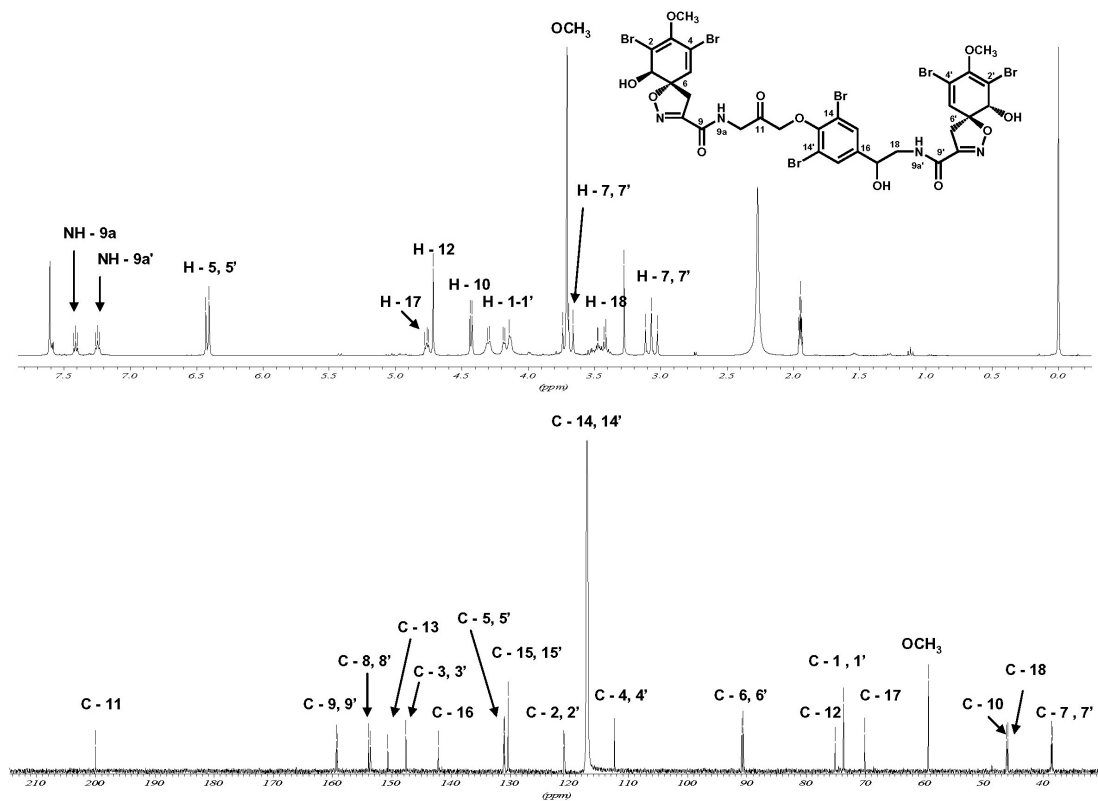


Figura 7S. Espectros de RMN - ^1H ($\text{MeCN}-d_3$, 400 MHz) e RMN - ^{13}C ($\text{MeCN}-d_3$, 100 MHz) da 11-ceto-fistularina-3 (11)

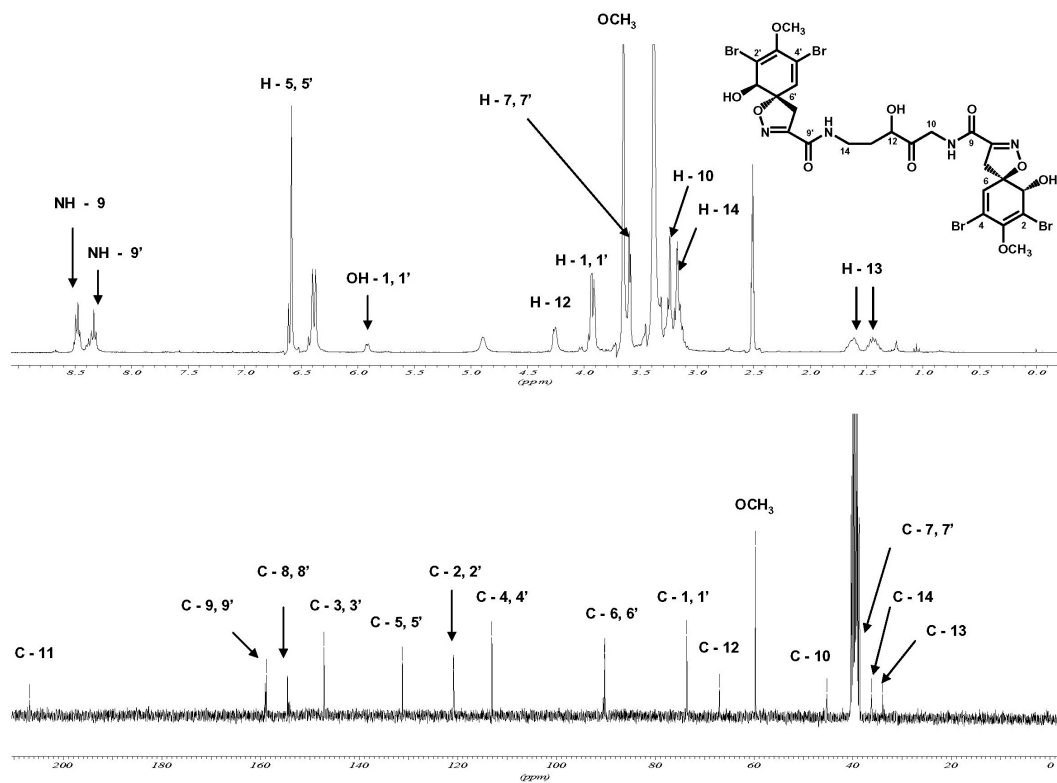


Figura 8S. Espectros de RMN - ^1H (DMSO- d_6 , 400 MHz) e RMN - ^{13}C (DMSO- d_6 , 100 MHz) da 11-oxo-12-hidroxi-homoaerotionina (10)

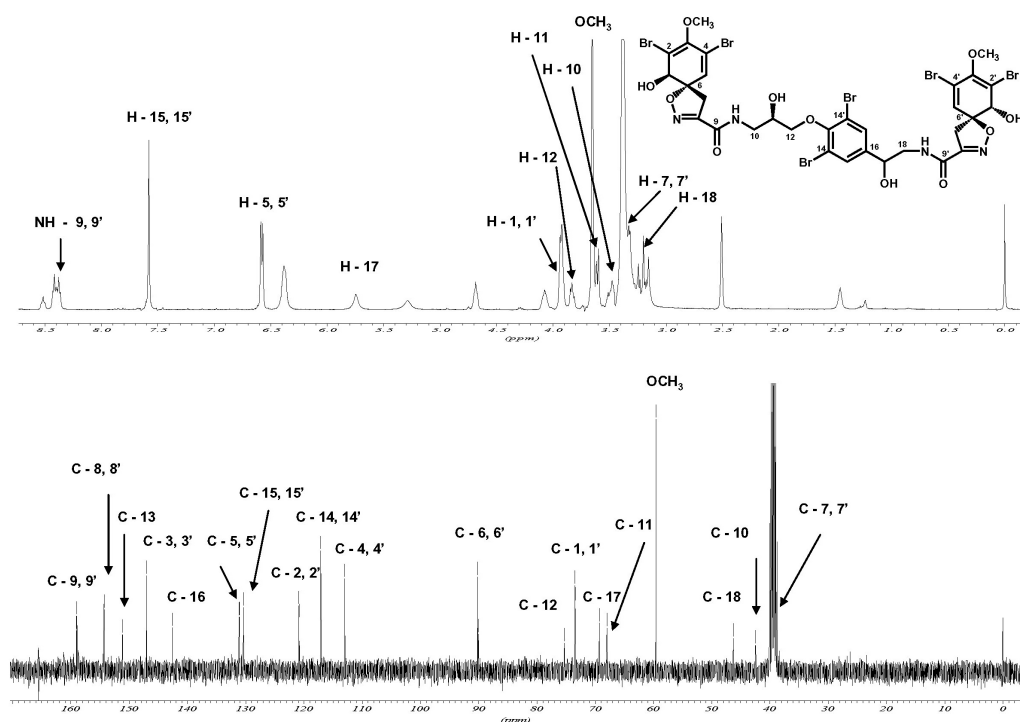


Figura 9S. Espectros de RMN - ^1H (DMSO- d_6 , 400 MHz) e RMN - ^{13}C (DMSO- d_6 , 100 MHz) da fistularina-3 (12)